

УДК 551.24 + 51-72;539.3

ДИНАМИЧЕСКОЕ ВОЗДЕЙСТВИЕ НА ТРУБОПРОВОД С УЧЕТОМ СУХОГО ТРЕНИЯ НА ЕГО ПОВЕРХНОСТИ

© 2019 г. А. Н. Филиппов

*Федеральное государственное автономное образовательное учреждение высшего образования
“Российский государственный университет нефти и газа
(национальный исследовательский университет) имени И.М. Губкина”, Москва, Россия
e-mail: filippov.a@gubkin.ru*

Поступила в редакцию 09.01.2019 г.

После доработки 09.01.2019 г.

Принята к публикации 30.01.2019 г.

Получено точное аналитическое решение задачи о волновом движении трубчатого полубесконечного стержня, взаимодействующего с окружающей его упругой средой по закону сухого трения Кулона, при действии на его торце экспоненциально падающей динамической нагрузки (моделирование подрыва заряда ВВ) и в случае удара жестким телом конечной массы по этому торцу. Исследована картина волнового движения в зависимости от параметров нагружения: определены передний и задний фронты упругой волны, найдено распределение остаточных деформаций при ее прохождении по стержню. Полученные результаты могут быть использованы при расчете деформации нефте- и газопроводов в случае ударных нагружений.

Ключевые слова: упругая волна, волна остановки, сухое трение, ударная нагрузка, среда Винклера

DOI: 10.1134/S0572329919050076

1. Введение. На практике часто приходится сталкиваться с проблемами расчета волновых процессов в телах удлиненной формы, находящихся в контакте с окружающей средой или другими телами. При этом, как правило, картина движения качественно (не говоря уже о количественной стороне вопроса) зависит от вида, характера и степени взаимодействия названных объектов. К задачам подобного рода можно отнести движение заглубленного в грунт трубопровода, исследование процесса забивки свай, скольжение протяженных тел в каналах при воздействии ударной нагрузки, динамическое контактное взаимодействие армирующих волокон и матрицы композитных материалов и т.п. Поскольку решение таких задач в точной постановке даже в рамках линейной теории упругости встречает значительные математические трудности, то обычный подход к преодолению последних основывается на включении в уравнения движения исследуемого тела реакций контактирующих с ним объектов.

Ряд интересных и важных задач в случае взаимодействия упругого стержня и жесткой среды при постоянной по величине силе сухого трения, действующей на контактной поверхности при наличии относительного движения, детально исследован в работах [1–12], в том числе применительно к заглубленному в грунт трубопроводу [4, 11]. В упомянутых работах сила трения не зависела от деформации ни самого стержня, ни окружающей его среды. В работе [13] этот пробел был устранен, и сила сухого трения в динамическом режиме была принята пропорциональной продольной деформации

стержня в случае его сжатия из-за наличия окружающей стержень среды типа Винклера [14]. В монографии Л.В. Никитина [15] приведен детальный обзор работ, опубликованных до 1997 года, и даны точные аналитические решения задач статики и динамики упругих и упругопластических тел с сухим трением, в том числе по моделированию ударного воздействия на трубопровод, находящийся в упругой среде. Следует отметить, что все краевые задачи в [15] были рассмотрены в одномерной постановке. В последние годы интерес к задачам подобного типа не ослабевает: в работе [16], например, представлены модели сейсмического режима и блоковой динамики, основанные на фрикционных автоколебаниях в системах с нелинейным сухим трением. При этом получено семейство моделей Барриджа и Кнопова для описания генерации землетрясений при относительном движении бортов разлома. Развиваются двумерные модели динамики стержней [17], в том числе с учетом деформации окружающей среды [18] при наличии сухого трения на боковой поверхности. Рассматривается и совместное движение пары контактирующих стержней [19]. Однако решение краевых задач ведется в основном численными методами. Между тем наличие аналитических решений даже в простых случаях позволяет верифицировать численные алгоритмы и схемы.

В данной работе применительно к перечисленным выше явлениям используется модель взаимодействия длинного тонкого упругого тела (трубчатого стержня) с окружающей его упругой же средой, представляющей собой линейное винклеровское основание, предложенная в работе [13]. При этом в случае проскальзывания между телом и средой, на поверхности контакта действует сила сухого трения, величина которой зависит от амплитуды проходящего по трубе импульса напряжений.

2. Постановка задачи и анализ решения. Одномерное уравнение движения тонкого однородного линейно-упругого трубчатого стержня, взаимодействующего по закону сухого трения Кулона с окружающей его средой типа Винклера, имеет следующий вид [13]:

$$a_0^2 \frac{\partial^2 u}{\partial x^2} + 2\kappa\lambda \frac{\partial u}{\partial x} = \frac{\partial^2 u}{\partial t^2} \quad (2.1)$$

где x – продольная лагранжева координата, t – время, $u(t, x)$ – продольное перемещение плоских сечений стержня, $a_0 = \sqrt{E/\rho}$ – эффективная скорость звука, ρ , E и ν – средние плотность материала трубы (с учетом ее содержимого), модуль Юнга и коэффициент Пуассона, $\lambda = kvq/\rho$ – постоянная, имеющая размерность ускорения, q – радиальная жесткость винклеровской “постели”. Отметим, что в случае проскальзывания имеем $\kappa = \text{sign } \partial u / \partial t$, а в случае покоя функция $\kappa(x)$ находится в процессе решения и определяет ту часть предельной силы трения, которая необходима для поддержания равновесия в каждом сечении стержня. Уравнение (2.1) моделирует динамику заглубленного в грунт трубопровода в случае деформации сжатия, когда не возникает зон потери контакта трубопровода с окружающей его средой.

Предполагается, что в начальный момент времени полубесконечный трубчатый стержень был не напряжен, не деформирован и $\kappa = 0$:

$$u(0, x) = \frac{\partial u}{\partial t}(0, x) = 0, \quad x > 0 \quad (2.2)$$

Здесь рассматриваются только сжимающие нагрузки, которые не приводят к прерыванию контакта стержня и среды. В этом наиболее простом случае можно строго показать, что передний фронт упругой волны как сильного, так и слабого разрывов рас-

пространяется со скоростью звука a_0 ¹. Поэтому, в квазилинейном дифференциальном уравнении (2.1) следует положить $\kappa = H(t - x/a_0)$, избавившись таким образом от нелинейности ($H(t)$ – единичная функция Хевисайда).

Для дальнейшего рассмотрения удобно ввести безразмерные переменные:

$$\tilde{t} = t \frac{\lambda}{a_0}, \quad \tilde{x} = x \frac{\lambda}{a_0}, \quad \tilde{u} = u \frac{\lambda}{a_0^2}$$

При этом уравнение движения (2.1) запишется в виде:

$$\frac{\partial^2 u}{\partial x^2} + 2H(t - x) \frac{\partial u}{\partial x} = \frac{\partial^2 u}{\partial t^2} \quad (2.3)$$

Здесь и всюду далее тильда над безразмерными величинами опущена.

В случае задания динамических граничных условий на конце $x = 0$ трубы

$$\frac{\partial u}{\partial x}(t, 0) = -f(t) \cdot H(t), \quad t \geq 0, \quad f(t) \geq 0 \quad (2.4)$$

при нулевых начальных условиях (2), решение для деформации $\varepsilon(t, x) = \partial u(t, x)/\partial x$, построенное методом преобразований Лапласа, имеет следующий вид [13]:

$$\varepsilon(t, x) = -e^{-x} \left\{ f(t - x) - x \int_x^t \frac{J_1(\sqrt{\tau^2 - x^2})}{\sqrt{\tau^2 - x^2}} f(t - \tau) d\tau \right\} H(t - x) \quad (2.5)$$

и справедливо лишь в примыкающей к переднему фронту $t = x$ области фазовой плоскости (t, x) , в которой скорости сечений

$$\begin{aligned} v(t, x) = e^{-x} H(t - x) & \left\{ f(t - x) - \int_x^t \frac{J_1(\sqrt{\tau^2 - x^2})}{\sqrt{\tau^2 - x^2}} f(t - \tau) \tau d\tau + \right. \\ & \left. + \int_x^t \left(\int_x^\tau J_0(\sqrt{\xi^2 - x^2}) f(\tau - \xi) d\xi \right) d\tau + \right. \\ & \left. + \int_x^t \left(-f(\tau - x) + x \int_x^\tau \frac{J_1(\sqrt{\xi^2 - x^2})}{\sqrt{\xi^2 - x^2}} f(\tau - \xi) d\xi \right) d\tau \right\} \end{aligned} \quad (2.6)$$

положительны. Границей этой области (в общем случае, частью ее границы) является ближайшая к фронту волны кривая $t = \varphi(x)$, вдоль которой скорость $v = \partial u/\partial t$ обращается в ноль (здесь и далее J_n – функция Бесселя n -го порядка 1-го рода). Для каждого конкретного вида нагрузки $f(t)$, линия $t = \varphi(x)$ – фронт остановки сечений (задний фронт упругой волны) определяется численно с использованием метода Ньютона для решения неявного параметрического уравнения $v(\varphi(x), x) = 0$.

3. Динамическое воздействие на торец стержня убывающей во времени нагрузкой. При задании экспоненциально падающей концевой нагрузки

$$f(t) = A \exp(-ct), \quad t \geq 0, \quad A, c = \text{const} \geq 0 \quad (3.1)$$

¹ Филиппов А.Н. Одномерные упругие волны в стержне и пластинке с учетом нелинейного взаимодействия с окружающей средой. Дисс. ... канд-та физ.-мат. наук. М., 1985. 120 с.

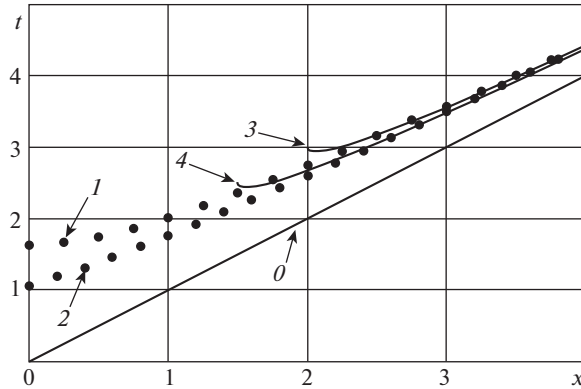


Рис. 1

хорошо описывающей изменение давления на конце трубчатого стержня при детонации накладного заряда ВВ, фронт остановки $t = \varphi(x)$ находится из следующего неявного уравнения:

$$\begin{aligned} & \exp(-c(\varphi(x) - x)) + cJ_0(\sqrt{\varphi^2(x) - x^2}) - \\ & - c^2 \int_x^{\varphi(x)} J_0(\sqrt{\tau^2 - x^2}) \exp(-c(\varphi(x) - \tau)) d\tau + \\ & + \int_x^{\varphi(x)} \left\{ J_0(\sqrt{\tau^2 - x^2}) + x \frac{J_1(\sqrt{\tau^2 - x^2})}{\sqrt{\tau^2 - x^2}} \right\} (1 - \exp(-c(\varphi(x) - \tau))) d\tau = 1 \end{aligned} \quad (3.2)$$

На рис. 1 представлены расчеты фронта остановки $t = \varphi(x)$ для значений c равных 0 (точки 1, соответствующие ступенчатой нагрузке $f(t) = A H(t)$) и 0.5 (точки 2). Прямая 0 определяет передний фронт волны $t = x$. Увеличение параметра c (более быстрое падение во времени концевой нагрузки) приводит к более раннему прохождению фронтом остановки сечений стержня. При больших значениях t и x ($t > x$) имеет место асимптотика:

$$\varphi(x) - x \cong 1 - \sqrt{1 - \frac{4}{x + 2(1 + c^2)}} \quad (3.3)$$

которая для фронтов 1 и 2 показана соответственно кривыми 3 и 4, и с высокой точностью приближает $t = \varphi(x)$ при $x > 2.5$. Несмотря на то, что скорость заднего фронта $t = \varphi(x)$ упругой волны остается все время больше скорости распространения переднего фронта $t = x$, он не может догнать передний фронт и истощения волны не происходит. Как показывает анализ, после прохождения фронта остановки $t = \varphi(x)$ в стержне устанавливается состояние статического равновесия между силами упругости и трения, определяемое уравнением

$$\frac{d\varepsilon^*}{dx} + 2\kappa(x)\varepsilon^*(x) = 0 \quad (3.4)$$

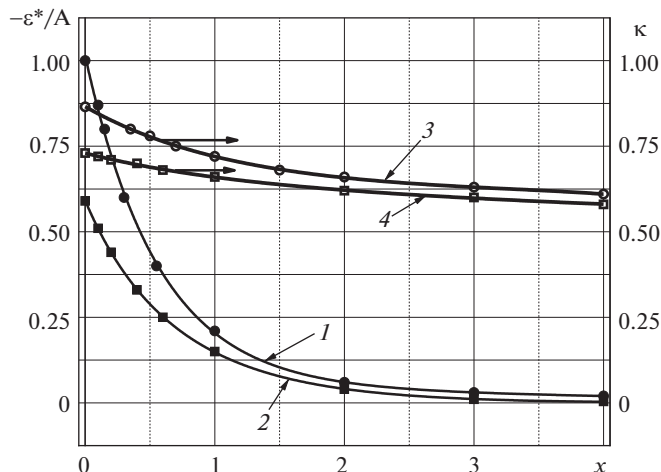


Рис. 2

где обозначено $\varepsilon^*(x) = \varepsilon(\varphi(x), x)$, а $\kappa(x)$ определяет долю от предельной (максимальной силы) трения покоя. Приведенные остаточные распределения деформаций $-\varepsilon^*(x)/A$ и функция $\kappa(x)$ в случае $c = 0$ и $c = 0.5$ показаны на рис. 2 (кривые 1, 3 и 2, 4, соответственно). Гиперболический характер сближения переднего $t = x$ и заднего $t = \varphi(x)$ фронтов (см. формулу (3.3)) выявляет существенное отличие используемой здесь модели от развитой ранее в работах [1–12], где для рассматриваемого типа нагрузки (3.1) передний и задний фронты волны истощаются на конечном расстоянии от торца стержня. Падение остаточных напряжений по длине стержня происходит экспоненциально, а сила трения покоя по мере удаления от торца стремится к половине своего предельного значения и убывает более медленно. Заметим также, что первым останавливается концевое сечение стержня, а дальше фронт установки с ускорением распространяется вглубь.

4. Удар жестким телом по торцу стержня. Изменим граничное условие задачи. Пусть в полубесконечный трубчатый стержень попадает летящее со скоростью $v_0 = \text{const}$ абсолютно жесткое тело массы m . Краевое условие запишется при этом в виде:

$$\frac{\partial^2 u}{\partial t^2}(t, 0) = s \frac{\partial u}{\partial x}(t, 0), \quad \frac{\partial u}{\partial t}(0, 0) = B \quad (4.1)$$

где введены безразмерные параметры $s = FE/(m\lambda) = \text{const}$ и $B = v_0/a_0$ (F – площадь поперечного сечения стержня). Решение задачи (2.1), (4.1) при нулевых начальных условиях (2.2) строится операционным методом и для деформации и скорости имеет следующий вид (при $s > 2$):

$$\varepsilon(t, x) = -B \exp(-x) \mathbf{H}(t-x) \left\{ J_0(\sqrt{t^2 - x^2}) - (s-1) \frac{\text{sh}(\omega(t-x))}{\omega} + (s-1) \int_x^t \left[(s-1) J_0(\sqrt{\tau^2 - x^2}) + x \frac{J_1(\sqrt{\tau^2 - x^2})}{\sqrt{\tau^2 - x^2}} \right] \times \frac{\text{sh}(\omega(t-\tau))}{\omega} d\tau \right\}$$

$$v(t, x) = B \frac{\exp(-x)}{s-2} \mathbf{H}(t-x) \left\{ \int_x^t (1 - (s-1)^2 \operatorname{ch}(\omega(t-\tau))) J_0(\sqrt{\tau^2 - x^2}) d\tau - \right. \\ \left. - 1 + (s-1) \operatorname{ch}(\omega(t-x)) + x \int_x^t (1 - (s-1) \operatorname{ch}(\omega(t-\tau))) \frac{J_1(\sqrt{\tau^2 - x^2})}{\sqrt{\tau^2 - x^2}} d\tau \right\} \quad (4.2)$$

где $\omega = \sqrt{s^2 - 2s}$. Следует отметить, что в случае $0 < s < 2$, ω является чисто мнимым числом, но формальная подстановка $\omega = i\sqrt{2s - s^2}$ с последующими алгебраическими преобразованиями приводит (4.2) к виду, не содержащему комплексных величин:

$$\varepsilon(t, x) = -B \exp(-x) \mathbf{H}(t-x) \left\{ J_0(\sqrt{t^2 - x^2}) - (s-1) \frac{\sin((t-x)\sqrt{2s-s^2})}{\sqrt{2s-s^2}} + \right. \\ \left. + (s-1) \int_x^t \left((s-1) J_0(\sqrt{\tau^2 - x^2}) + x \frac{J_1(\sqrt{\tau^2 - x^2})}{\sqrt{\tau^2 - x^2}} \right) \cdot \frac{\sin((t-\tau)\sqrt{2s-s^2})}{\sqrt{2s-s^2}} d\tau \right\} \\ v(t, x) = B \frac{\exp(-x)}{2-s} \mathbf{H}(t-x) \cdot \\ \cdot \left\{ 1 + \int_x^t ((1-s)^2 \cos(\sqrt{2s-s^2}(t-\tau)) - 1) J_0(\sqrt{\tau^2 - x^2}) d\tau + \right. \\ \left. + (1-s) \cos(\sqrt{2s-s^2}(t-x)) - \right. \\ \left. - x \int_x^t ((1-s) \cos(\sqrt{2s-s^2}(t-\tau)) + 1) \frac{J_1(\sqrt{\tau^2 - x^2})}{\sqrt{\tau^2 - x^2}} d\tau \right\} \quad (4.3)$$

Формулы для “переходного” случая $s = 2$ могут быть получены из формул (4.2) или (4.3) с помощью аккуратного предельного перехода:

$$\varepsilon(t, x) = -B \exp(-x) \mathbf{H}(t-x) \left\{ -(t-x) + J_0(\sqrt{t^2 - x^2}) + \right. \\ \left. + \int_x^t \left(J_0(\sqrt{\tau^2 - x^2}) + x \frac{J_1(\sqrt{\tau^2 - x^2})}{\sqrt{\tau^2 - x^2}} \right) (t-\tau) d\tau \right\} \\ v(t, x) = B \exp(-x) \mathbf{H}(t-x) \left\{ 1 + (t-x)^2 - \int_x^t J_0(\sqrt{\tau^2 - x^2}) \cdot \right. \\ \left. \cdot (2 + (t-\tau)^2) d\tau - x \int_x^t \frac{J_1(\sqrt{\tau^2 - x^2})}{\sqrt{\tau^2 - x^2}} (1 + (t-\tau)^2) d\tau \right\}$$

В частном случае $s = 1$ выражения для деформации и скорости (4.3) существенно упрощаются:

$$\varepsilon(t, x) = -B \exp(-x) J_0(\sqrt{t^2 - x^2}) \mathbf{H}(t-x) \\ v(t, x) = B \exp(-x) \mathbf{H}(t-x) \left\{ 1 - \int_x^t \left(J_0(\sqrt{\tau^2 - x^2}) + x \frac{J_1(\sqrt{\tau^2 - x^2})}{\sqrt{\tau^2 - x^2}} \right) d\tau \right\} \quad (4.4)$$

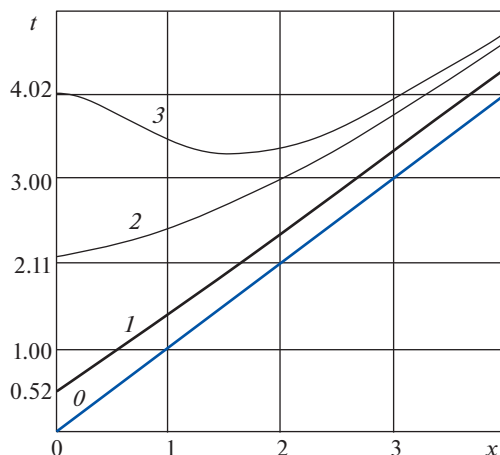


Рис. 3

Из формулы для деформации следует, что фронт смены ее знака представляет собой гиперболу $\sqrt{t^2 - x^2} = \mu_1$, где $\mu_1 = 2.4048$ – первый нуль функции Бесселя J_0 . Однако, прежде чем успеет пройти этот фронт, пройдет фронт остановки сечений стержня $t = \varphi(x, 1)$ (он располагается между кривыми 1 и 2 на рис. 3), так что деформации останутся сжимающими.

Анализ показывает, что при $s > s_*$ в стержне существует лишь одна область движения, задний фронт $t = \varphi(x, s)$ которой для различных значений s изображен на рис. 3 (кривая 0 – передний фронт $t = x$ упругой волны, кривые 1, 2, 3 – задние фронты для значений $s = 3.5; 0.3$ и 0.08 , соответственно). Остаточные распределения приведенных деформаций $-\varepsilon^*(x, s)/B$ по области застоя и графики функций $\kappa(x, s)$, определяемые из уравнения (10), при тех же s представлены на рис. 4 (кривые 1, 2, 3 – для $-\varepsilon^*/B$ и 4, 5, 6 – для κ). Значение s_* определяется как наименьший параметр, при котором уравнение $d\varphi(x, s)/dx = -1$ имеет хотя бы одно решение: оценка дает $0.05 < s_* < 0.08$. Отметим, что асимптотическое разложение функции $t = \varphi(x, s)$ при больших значениях x имеет вид:

$$\varphi(x, s) \cong x + \frac{2s + x - 2\sqrt{2sx - \omega^2}}{\omega^2 + (s - x/2)^2}.$$

Приведенная выше формула при $x > 5$ для $s > s_*$ с точностью не хуже 2% описывает истинную кривую.

Интересно заметить, что при условии $s_* < s < s_0$ ($s_0 \approx 0.188$) первым останавливается не конечное, а некоторое сечение внутри стержня с последующим распространением области застоя в обе стороны (см., например, кривую 3 на рис. 3); при этом распределение сил трения по длине стержня является немонотонным (кривая 6 на рис. 4). В случае же $0 \leq s \leq s_*$ в стержне возникнут зоны вторичного движения, решение задачи в которых должно строиться отдельно. Поясним эту ситуацию на примере случая, когда $s = 0$, что соответствует удару по трубчатому стержню бесконечной массой (удар

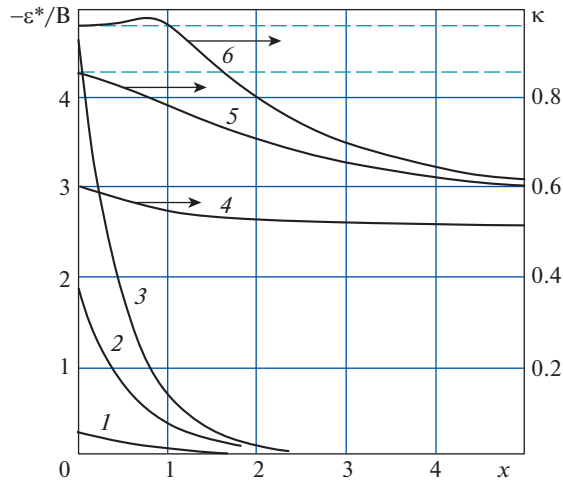


Рис. 4

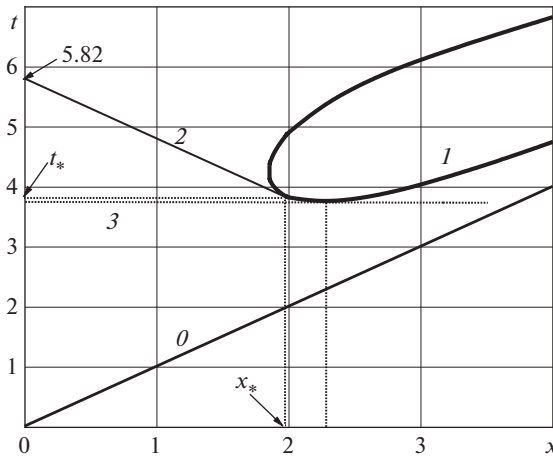


Рис. 5

стержня о неподвижную жесткую преграду). Тогда выражения для деформации и скорости значительно упрощаются:

$$\begin{aligned}
 \varepsilon(t, x) = & -B \exp(-x) \mathbf{H}(t-x) \left\{ (t-x) + J_0(\sqrt{t^2-x^2}) + \right. \\
 & \left. + \int_x^t \left(J_0(\sqrt{\tau^2-x^2}) - x \frac{J_1(\sqrt{\tau^2-x^2})}{\sqrt{\tau^2-x^2}} \right) (t-\tau) d\tau \right\} \\
 v(t, x) = & B \exp(-x) \left\{ 1 - x \int_x^t \frac{J_1(\sqrt{\tau^2-x^2})}{\sqrt{\tau^2-x^2}} d\tau \right\} \mathbf{H}(t-x)
 \end{aligned} \tag{4.5}$$

Примерная картина волнового движения для этого случая показана на рис. 5. Первым здесь останавливается сечение $x \approx 2.3$, где касательная к фронту остановки $t = \varphi(x, 0)$ горизонтальна (пунктирная прямая 3). Далее фронт остановки (кривая 1) распространяется в обе стороны, достигая в сечении $x_* \approx 1.97$ в момент времени $t_* \approx 3.85$ максимальной скорости упругой волны и асимптотически приближаясь к переднему фронту (прямая 0). При этом решение (4.5) остается справедливым ниже характеристики $t + x = t_* + x_* \approx 5.82$ (прямая 2) и фронта остановки $t = \varphi(x, 0)$ (кривая 1). На рис. 5 для наглядности показана вся кривая, на которой скорость (4.5) формально обращается в ноль. При этом верхняя часть этой кривой ($t > 3.85$) должна быть отброшена, как не имеющая физического смысла. В области выше характеристики $t + x = t_* + x_*$ и фронта остановки $t = \varphi(x, 0)$ решение должно строиться с учетом возникновения вторичной упругой волны, бегущей с переменной скоростью по предварительно поджатому стержню. Фронт вторичной волны заранее неизвестен и должен определяться из решения задачи. Этому будет посвящена следующая статья.

5. Заключение. Представлено точное аналитическое решение краевой задачи о распространении упругой волны в трубчатом полубесконечном стержне, взаимодействующем с окружающей средой по закону сухого трения, при действии на его торце экспоненциально убывающей во времени динамической нагрузки, а также в случае удара жестким телом конечной массы по этому торцу. Подробно исследована картина волнового движения в зависимости от параметров нагружения. Определены передний и задний фронты упругой волны, найдено распределение остаточных деформаций после прохождения фронта остановки сечений. Полученные результаты могут быть использованы при расчете деформации нефте- и газопроводов в случае ударных нагружений.

Работа выполнена при финансовой поддержке Российского фонда фундаментальных исследований (проект № 16-01-00138).

СПИСОК ЛИТЕРАТУРЫ

1. *Никитин Л.В.* Распространение волн в упругом стержне при наличии сухого трения // Инж. ж. 1963. Т. 3. Вып. 1. С. 126–130.
2. *Никитин Л.В., Тюреходжаев А.Н.* Поведение под нагрузкой упругого стержня, заглубленного в грунт // Проблемы механики горных пород. Алма-Ата: Наука, 1966. С. 304–311.
3. *Никитин Л.В.* Удар жестким телом по упругому стержню с внешним сухим трением // Инж. ж. МТТ. 1967. № 2. С. 166–170.
4. *Ильюшин А.А., Рашидов Т.Р.* О действии сейсмической волны на подземный трубопровод // Изв. АН УзССР. Сер. техн. наук. 1971. Т. 1. С. 3–11.
5. *Тарханов Г.В.* Распространение волн по упругому полубесконечному стержню при наличии сухого трения // Виброакустическая активность механизмов с зубчатыми передачами. М.: Наука, 1971. С. 184–187.
6. *Никитин Л.В.* Продольные колебания упругих стержней при наличии сухого трения // Изв. АН СССР. МТТ. 1978. № 6. С. 137–145.
7. *Тарханов Г.В.* Влияние предварительного смещения на распространение упругой волны по стержню при наличии сухого трения // Изв. АН СССР. МТТ. 1982. № 2. С. 173–178.
8. *Веклич Н.А., Малышев Б.М.* Распространение волн в упругих стержнях, находящихся в среде с сухим трением // Задачи механики твердого деформируемого тела. М.: МГУ, 1985. С. 64–99.
9. *Никитин Л.В., Тюреходжаев А.Н.* Демпфирование сухим трением динамических нагрузок в волокнистом композите // Механика композитных материалов. 1986. № 1. С. 28–37.
10. *Никитин Л.В.* Динамика упругих стержней с внешним сухим трением // Успехи механики. 1988. Т. 11. Вып. 4. С. 53–106.

11. *Никитин Л.В., Рашидов А.Т.* Трубопровод под воздействием стационарного конечного импульса в окружающей среде // Актуальные проблемы механики деформируемого твердого тела. Алма-Ата: Гылым, 1992. С. 12–18.
12. *Mogilevsky R.I., Ormonbekov T.O., Nikitin L.V.* Dynamics of rods with interfacial dry friction // J. Mech. Behav. Mater. 1993. V. 5. № 1. P. 85–93.
13. *Филиппов А.Н.* Распространение продольных упругих волн в стержне, окруженном средой типа Винклера // Вестн. Моск. ун-та. Сер. 1. Математика. Механика. 1983. № 1. С. 74–78.
14. *Winkler E.* Die Lehre von der Elasticität und Festigkeit mit besonderer Rücksicht auf ihre Anwendung in der Technik. Prag: H. Dominicus, 1867. 431 p.
15. *Никитин Л.В.* Статика и динамика твердых тел с внешним сухим трением. М.: Московский лицей, 1998. 261 с.
16. *Захаров В.С.* Модели сейсмотектонических систем с сухим трением // Вестн. Моск. ун-та. Сер. 4. Геология. 2011. № 1. С. 22–28.
17. *Александрова Н.И.* Численно-аналитическое исследование процесса ударного погружения трубы в грунт с сухим трением. Ч. I: Внешняя среда не деформируема // Физ.-техн. пробл. разраб. полез. ископ. 2012. № 5. С. 104–119.
18. *Александрова Н.И.* Численно-аналитическое исследование процесса ударного погружения трубы в грунт с сухим трением. Ч. II. Внешняя среда деформируема // Физ.-техн. пробл. разраб. полез. ископ. 2013. № 3. С. 91–106.
19. *Яновская Е.А., Сосенушкин Е.Н., Иванова О.К.* Динамическая модель распространения волн от ударного импульса в составном стержне с учетом трения // Изв. Самарского НЦ РАН. 2016. Т. 18. № 1–2. С. 349–357.